

Biologia Quantitativa

Análise de Componentes

Principais

Depto. De Zoologia
24 de novembro 2020

Referências básicas

- Pielou caps 3 e 4 (figs do ppt)
- Gotelli & Ellison. 2010. Princípios de Estatística em Ecologia. Editora Artmed
- Ayres et al. Bioestat 2.0. Cap 4.2

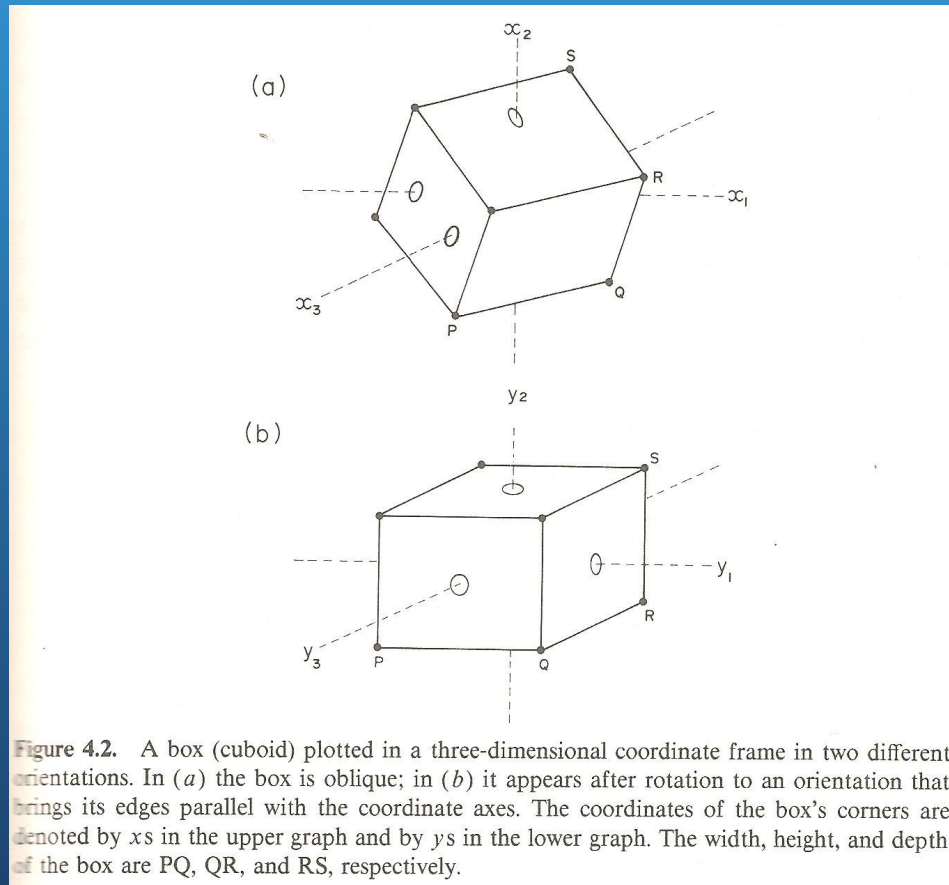
Princípios da PCA

- Combina visão geométrica e álgebra de matrizes
- Visão geométrica: rotação n-dimensional da nuvem de pontos na direção dos eixos ortogonais de maior dimensão
- Visão algébrica: multiplicação da matriz de dados por sua transposta para gerar matriz de correlação ou covariância
- Extração dos autovetores e autovalores da matriz
- Autovetores: eixos de maior variância
- Autovalores: percentagem da variância total explicada por cada eixo

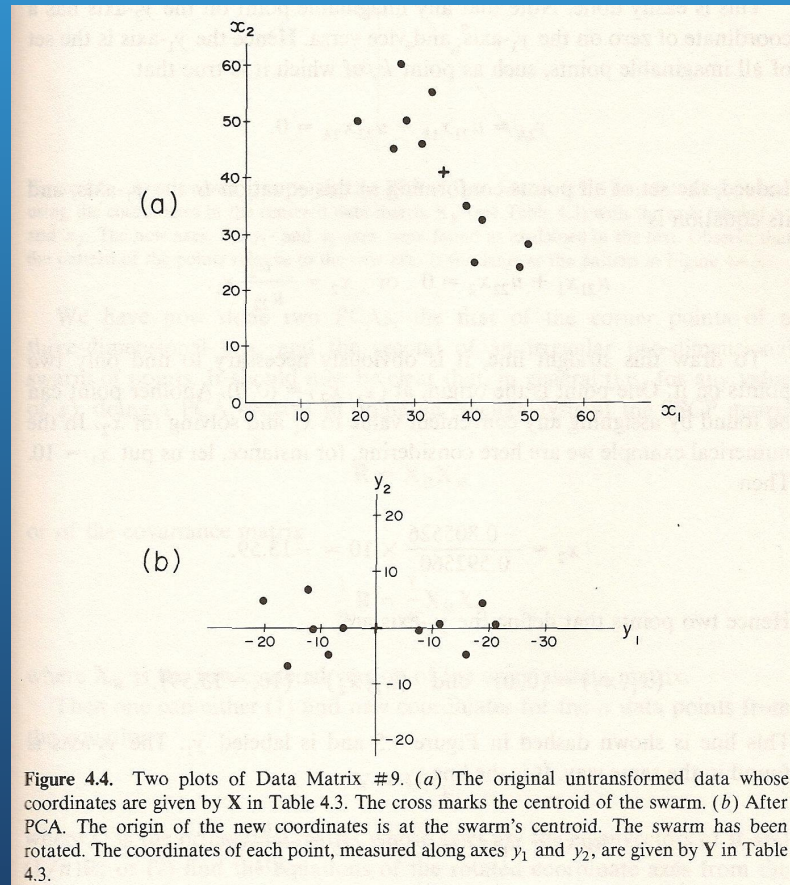
Quatro tipos de PCA

- Matriz de correlação ou de covariância
- Projeção centrada ou não centrada
- Combinação dá quatro tipos de PCA

Projeção do sólido no espaço



Novos eixos mesmos dados



Passos da PCA - Algebra Matricial

TABLE 4.3. THE STEPS IN A PRINCIPAL COMPONENTS ANALYSIS OF DATA MATRIX #9.

The 2×11 data matrix is

$$\mathbf{X} = \begin{pmatrix} 20 & 26 & 27 & 28 & 31 & 33 & 39 & 41 & 42 & 48 & 50 \\ 50 & 45 & 60 & 50 & 46 & 55 & 35 & 25 & 33 & 24 & 28 \end{pmatrix}.$$

The row-centered data matrix obtained by subtracting $\bar{x}_1 = 35$ and $\bar{x}_2 = 41$ from the first and second rows of \mathbf{X} , respectively, is

$$\mathbf{X}_R = \begin{pmatrix} -15 & -9 & -8 & -7 & -4 & -2 & 4 & 6 & 7 & 13 & 15 \\ 9 & 4 & 19 & 9 & 5 & 14 & -6 & -16 & -8 & -17 & -13 \end{pmatrix}.$$

The SSCP matrix is

$$\mathbf{R} = \begin{pmatrix} 934 & -1026 \\ -1026 & 1574 \end{pmatrix}.$$

The covariance matrix is

$$\frac{1}{n}\mathbf{R} = \begin{pmatrix} 84.9091 & -93.2727 \\ -93.2727 & 143.0909 \end{pmatrix}.$$

The matrix of eigenvectors is

$$\mathbf{U} = \begin{pmatrix} 0.592560 & -0.805526 \\ 0.805526 & 0.592560 \end{pmatrix}.$$

The eigenvalues of the covariance matrix are the nonzero elements of

$$\Lambda = \begin{pmatrix} 211.704 & 0 \\ 0 & 16.295 \end{pmatrix}.$$

The transformed data matrix (after rounding to one decimal place) is

$$\mathbf{Y} = \begin{pmatrix} -16.1 & -8.6 & -20.0 & -11.4 & -6.4 & -12.5 & 7.2 & 16.4 & 10.6 & 21.4 & 19.4 \\ -6.7 & -4.9 & 4.8 & -0.3 & -0.3 & 6.7 & -0.3 & -4.6 & 0.9 & 0.4 & 4.4 \end{pmatrix}$$

Centrando a fig anterior

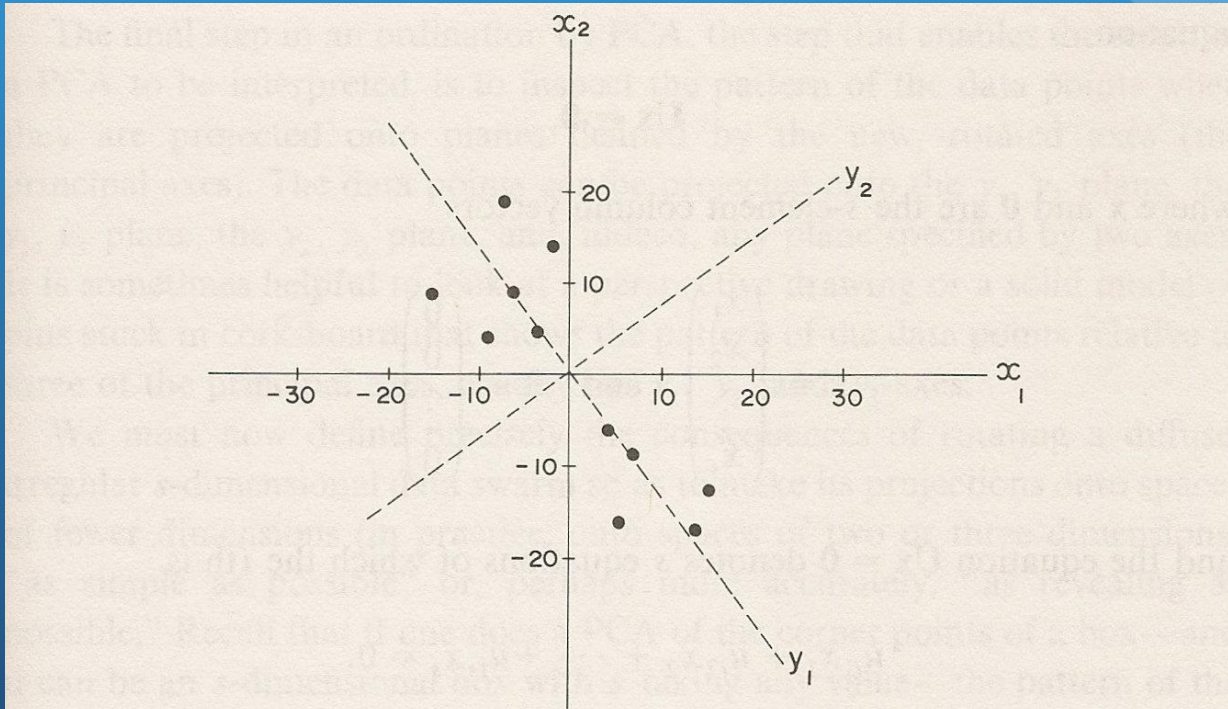
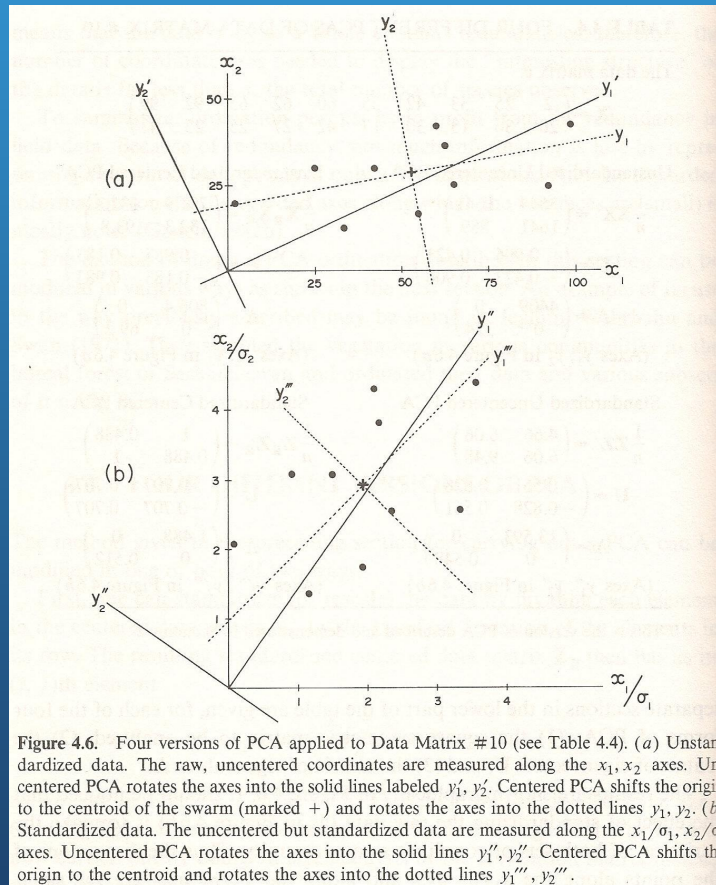
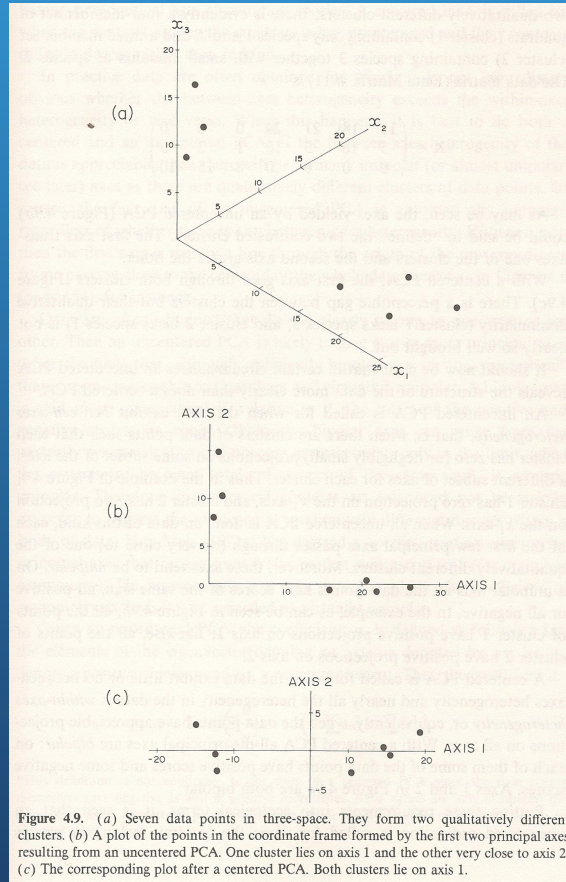


Figure 4.5. Another way of portraying the PCA of Data Matrix #9. The points were plotted using the coordinates in the centered data matrix \mathbf{X}_R (see Table 4.3) with the axes labeled x_1 and x_2 . The new axes, the y_1 - and y_2 -axes, were found as explained in the text. Observe that the pattern of the points relative to the new axes is the same as the pattern in Figure 4.4b.

Quatro formas de PCA



Projeções centrada vs ã centrada



Quatro tipos diferentes de PCA

TABLE 4.4. FOUR DIFFERENT PCAS OF DATA MATRIX #10.

The data matrix is

$$\mathbf{X} = \begin{pmatrix} 2 & 25 & 33 & 42 & 55 & 60 & 62 & 65 & 92 & 99 \\ 20 & 30 & 13 & 30 & 17 & 42 & 27 & 25 & 25 & 43 \end{pmatrix}.$$

Unstandardized Uncentered PCA

$$\frac{1}{n} \mathbf{X} \mathbf{X}' = \begin{pmatrix} 3644 & 1641 \\ 1641 & 889 \end{pmatrix}$$

$$\mathbf{U} = \begin{pmatrix} 0.906 & 0.423 \\ -0.423 & 0.906 \end{pmatrix}$$

$$\Lambda = \begin{pmatrix} 4409 & 0 \\ 0 & 124 \end{pmatrix}$$

(Axes y'_1, y'_2 in Figure 4.6a)

Unstandardized Centered PCA^a

$$\frac{1}{n} \mathbf{X}_R \mathbf{X}_R' = \begin{pmatrix} 781.9 & 132.3 \\ 132.3 & 93.8 \end{pmatrix}$$

$$\mathbf{U} = \begin{pmatrix} 0.983 & 0.183 \\ -0.183 & 0.983 \end{pmatrix}$$

$$\Lambda = \begin{pmatrix} 806.4 & 0 \\ 0 & 69.2 \end{pmatrix}$$

(Axes y_1, y_2 in Figure 4.6a)

Standardized Uncentered PCA

$$\frac{1}{n} \mathbf{Z} \mathbf{Z}' = \begin{pmatrix} 4.66 & 6.06 \\ 6.06 & 9.48 \end{pmatrix}$$

$$\mathbf{U} = \begin{pmatrix} 0.561 & 0.828 \\ -0.828 & 0.561 \end{pmatrix}$$

$$\Lambda = \begin{pmatrix} 13.593 & 0 \\ 0 & 0.548 \end{pmatrix}$$

(Axes y''_1, y''_2 in Figure 4.6b)

Standardized Centered PCA

$$\frac{1}{n} \mathbf{Z}_R \mathbf{Z}_R' = \begin{pmatrix} 1 & 0.488 \\ 0.488 & 1 \end{pmatrix}$$

$$\mathbf{U} = \begin{pmatrix} 0.707 & 0.707 \\ -0.707 & 0.707 \end{pmatrix}$$

$$\Lambda = \begin{pmatrix} 1.488 & 0 \\ 0 & 0.512 \end{pmatrix}$$

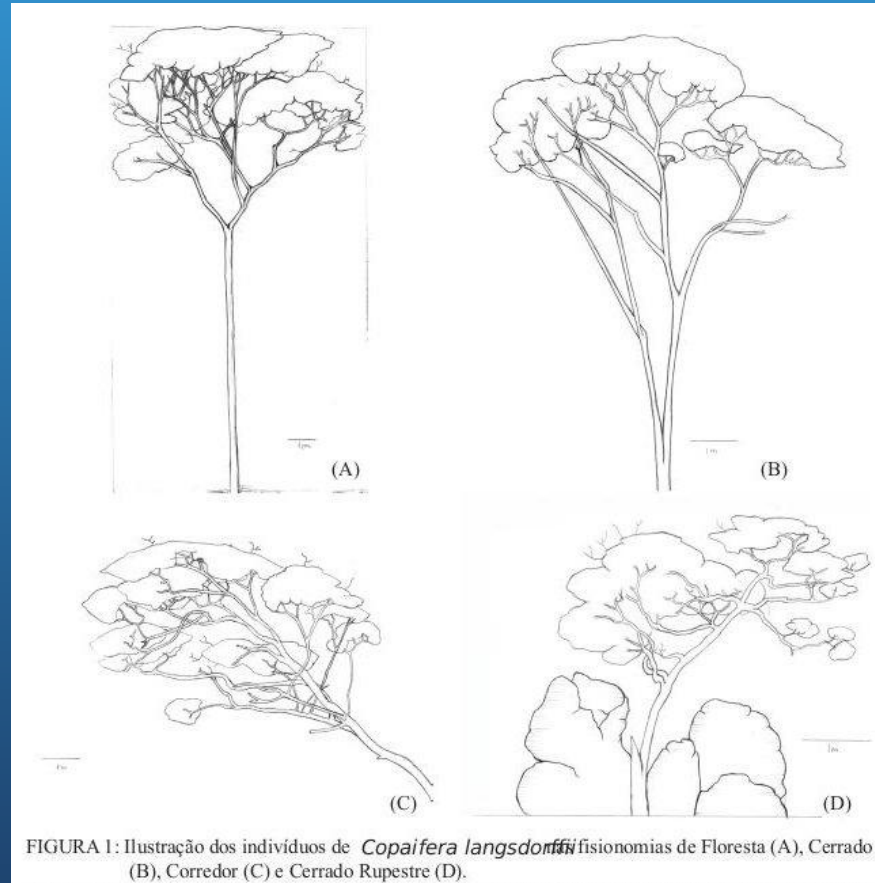
(Axes y'''_1, y'''_2 in Figure 4.6b)

^aThis is the version of PCA described and demonstrated in Section 4.2.

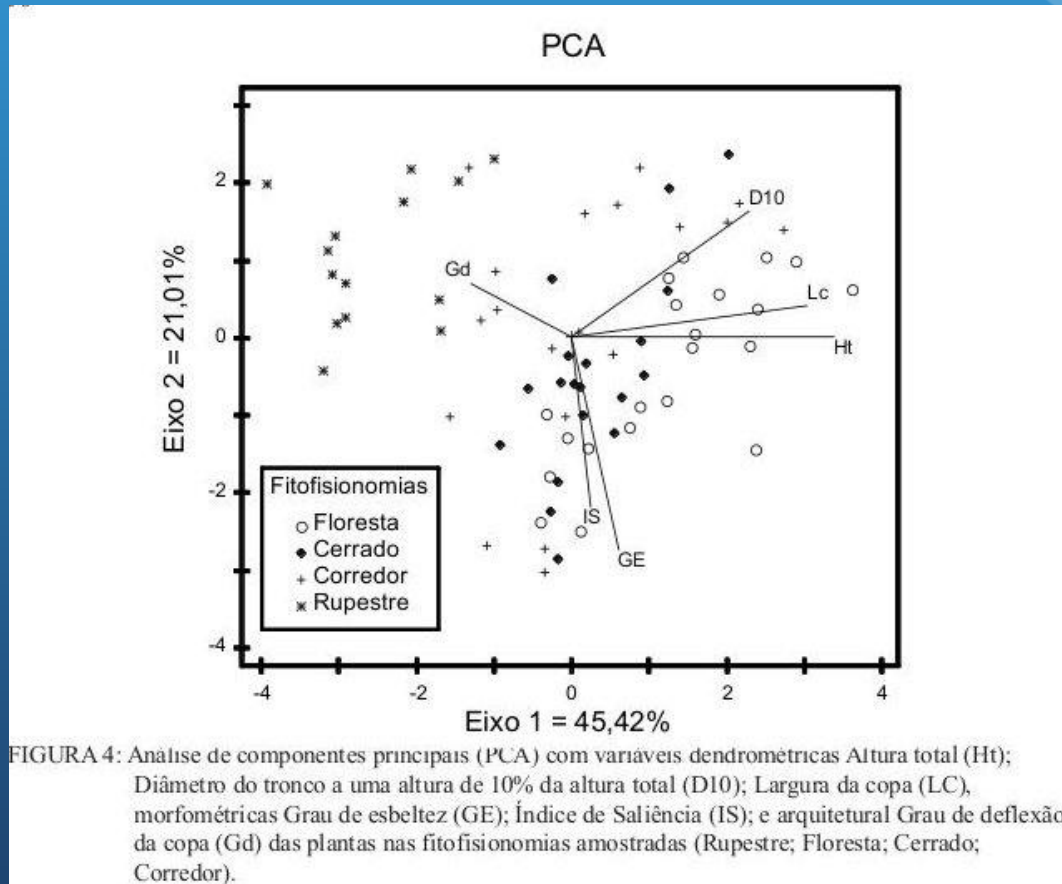
Artigo Costa et al 2012

- Alometria de copaíba no cerrado de Minas Gerais
- PCA de correlação
- Variáveis: diametro tronco, larg copa, grau esbeltez, indice saliencia, grau deflexao copa
- Grafico mostra ordenacao, autovalores e autovetores

Forma da Copaíba por habitat



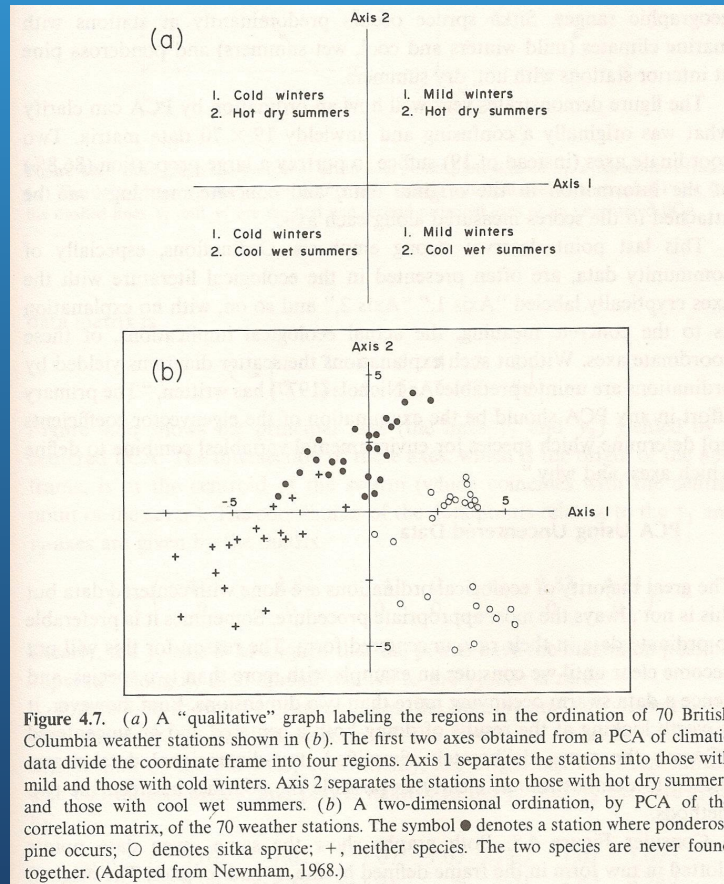
Analise PCA - Copaiba cerrado



Dados e Análises

- 19 variáveis climáticas em 70 estações meteorológicas
- PCA de correlação centrada
- 2 primeiros eixos: 57,4% e 29,4% da variância (86,8%)
- Cinco principais variáveis eixo 1 temp: inv max diaria, inv min diaria, out min diaria, inv media diar, out media diaria
- Cinco principais variáveis eixo 2: prim max diaria, verao max diaria, verao media diaria, chuva media prim, chuva media verao

Interpretando o PCA - clima-veget



Testes de Hipóteses

- As análises de PCA podem também servir de base para extrair variáveis ou criar novas variáveis que por sua vez sejam usadas em testes univariados ou testes não paramétricos.
- Exemplo: págs 155-157 Pielou (The interpretation of ecological data)